ОСОБЕННОСТИ РАСПРОСТРАНЕНИЯ И САМОВОЗДЕЙСТВИЯ БЕССЕЛЕВЫХ СВЕТОВЫХ ПУЧКОВ В СРЕДАХ С НАСЫЩЕНИЕМ ПОГЛОЩЕНИЯ

Д. В. Горбач 1 , Т. А. Куприянец 1 , С. А. Назаров 1 , О. Г. Романов 1 , А. П. Сухоруков 2 , А. Л. Толстик 1

¹Белорусский государственный университет, Минск, Беларусь ²Московский государственный университет им. М. В. Ломоносова, Москва, Россия

E-mail: gorbach@tut.by

Экспериментально и теоретически исследованы закономерности преобразования пространственной структуры бесселевых световых пучков при их распространении в растворе красителя родамин 6Ж.

формировался Бесселев световой пучок излучением гармоники лазера на алюмоиттриевом гранате ($\lambda = 532$ нм, $\tau = 20$ нс), $\gamma = 1^0$. Пучок аксикон с углом конусности через проходящим направлялся в кювету с этанольным раствором красителя родамин 6Ж толщиной 5 мм, расположенную на расстоянии 10 см от аксикона. Энергия импульса лазерного излучения варьировалась в пределах $E = 0.2 \div 3$ мДж, концентрация красителя изменялась В пределах $C = 2 \cdot 10^{-5} \div 10^{-4}$ моль/л. Пространственные профили интенсивности пучка в дальней зоне регистрировались с помощью ССД-камеры.

Показано, что пространственное распределение интенсивности бесселева светового пучка на выходе кюветы зависит как от оптической плотности раствора красителя, так и от входной интенсивности. Так, на рис. 1 представлены характерные зависимости пространственного распределения интенсивности, полученные в области нахождения кюветы с красителем (a), а также в дальней зоне при наличии кюветы с красителем (a, ϵ) , и без нее (δ) . Видно, что в условиях нелинейного поглощения при небольшой энергии светового импульса кольцевой

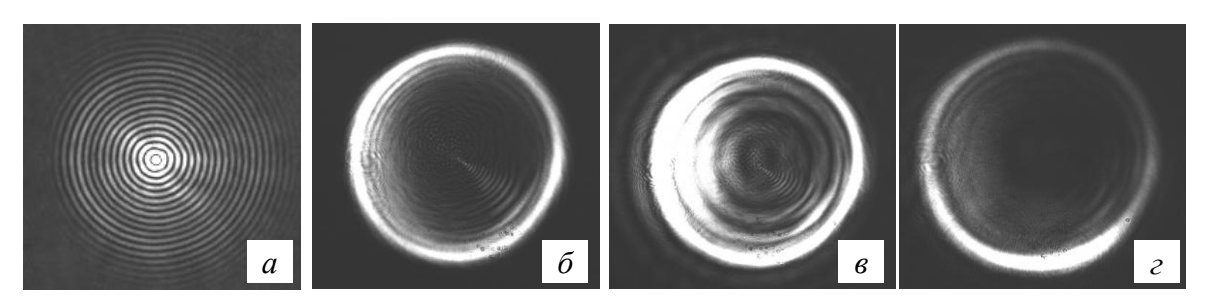


Рис. 1. Распределение интенсивности бесселева светового пучка в зависимости от интенсивности; a — вид бесселева светового пучка в области нахождения кюветы с красителем; b — в дальней зоне без кюветы с красителем; b — в дальней зоне при наличии кюветы с красителем: $C = 2 \cdot 10^{-5}$ моль/л; E = 0.4 мДж (b), D 2.3 мДж (D)

пространственный спектр бесселева светового пучка разрушается (рис. 1, e). Увеличение интенсивности приводит К просветлению нелинейной среды и восстановлению кольцеобразного распределения интенсивности (рис. 1, 2), которое характерно для распространения бесселева светового пучка в свободном пространстве (рис. $1, \delta$). закономерность наблюдается Аналогичная И при увеличении концентрации красителя в растворе (рис. 2). При большой концентрации (рис. 2, а) формирование дальней зоны происходит из небольшого числа колец бесселева светового пучка, что приводит к существенной деформации его пространственного спектра. Уменьшение концентрации раствора красителя, а, следовательно, и уменьшение оптической плотно-сти при заданной энергии лазерного импульса приводит к тому, что большее число колец бесселева светового пучка проходит через кювету с красителем, испытывая меньшее поглощение и таким образом участвует в формировании кольцеобразной структуры в дальней зоне.

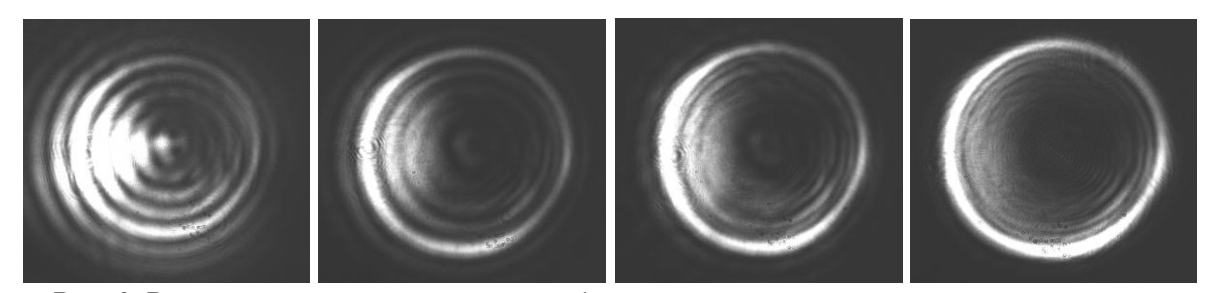


Рис. 2. Распределение интенсивности бесселева светового пучка в дальней зоне в зависимости концентрации раствора красителя; E=1.4 мДж; $C=10^{-4}(a)$, $7\cdot10^{-5}(6)$, $5\cdot10^{-5}(6)$, $2\cdot10^{-5}(6)$ моль/л

Для объяснения полученных зависимостей был рассчитан пространственный спектр бесселева светового пучка в зависимости от количества колец. В дальней зоне бесселева светового пучка, состоящего из бесконечного (достаточно большого) числа колец, формируется узкое кольцеобразное распределение интенсивности, которому соответствует узкий пик в угловом спектре. Уменьшение эффективного числа колец приводит к уширению пика и появлению дополнительных максимумов. При дальнейшем уменьшении числа колец угловой период возникающей модуляции увеличивается, а пик, характеризующий структуру бесселева светового пучка, сглаживается.

Таким образом, в работе определены условия нарушения структуры бесселева светового пучка при его распространении в поглощающей нелинейной среде и предложено теоретическое описание, которое удовлетворительно согласуется с экспериментальными результатами.

Работа выполнена при поддержке БРФФИ (грант № Ф12Р-075) и РФФИ (грант № 12-02-90023-Бел_а).